

**Adopted Levels, Gammas**

Type	Author	History
Full Evaluation	Jean Blachot	Citation
		NDS 111,717 (2010)

$Q(\beta^-)=3276.25$  24;  $S(n)=6784.72$  22;  $S(p)=7454.3$  8;  $Q(\alpha)=-4090.9$  25    [2012Wa38](#)

Note: Current evaluation has used the following Q record 3279    4 6784.72 227450    4 -4092 5    [2003Au03](#),[2009AuZZ](#).

Level energies are from ( $n,\gamma$ ) decay scheme. Some levels correspond to p-n multiplets:  $\pi(g_{9/2})^{-1}$  with  $\nu(h_{11/2},g_{7/2},d_{5/2})^{-1}$  or  $\nu(s_{1/2},d_{3/2},1)$ .

The spin assignments are due mainly to [1976Al06](#), [1972Ra39](#), from the  $^{115}\text{In}(d,p)$  reaction data ([1968Mo04](#),[1976Al06](#)), the internal conversion measurements ([1973Sc23](#),[1976Al06](#)), and the resonance capture measurements ([1974Co35](#)).

The configuration assignments are based on L-transfer in (d,p).

 **$^{116}\text{In}$  Levels****Cross Reference (XREF) Flags**

A	$^{115}\text{In}(d,p)$	D	$^{116}\text{In}$ IT decay (2.18 s)
B	$^{115}\text{In}(n,\gamma)$ E=resonance	E	$^{116}\text{Cd}(p,n)$
C	$^{115}\text{In}(n,\gamma)$ E=th	F	$^{116}\text{Sn}(d,^2\text{He})$

E(level)	$J^\pi \dagger$	$T_{1/2}$	XREF	Comments
0.0	$1^+$	14.10 s 3	ABCD F	$\% \beta^- = 99.977$ 6; $\% \varepsilon = 0.023$ 6 ( <a href="#">1998Bh04</a> ) $Q = 0.11$ 1 ( <a href="#">2005St24</a> , <a href="#">1982Gr17</a> ); $\mu = 2.7876$ 6 ( <a href="#">2005St24</a> , <a href="#">1971Wi12</a> ) Configuration= $((\pi g_{9/2})^{-1}(\nu g_{7/2})^{-1})$ $T_{1/2}$ : from <a href="#">1963Be23</a> . Others: 13 s ( <a href="#">1935Am01</a> , <a href="#">1937La05</a> ), 12.5 s 20 ( <a href="#">1953Wi42</a> ), 14.5 s 4 ( <a href="#">1957Ca71</a> ), 15.9 s 28 ( <a href="#">1958Gu09</a> ), 13.4 s 4 ( <a href="#">1960Do02</a> ), 14.05 s 26 ( <a href="#">1960Du04</a> ), 15.6 s 5 ( <a href="#">1965Br34</a> ). $J^\pi$ : log $f\tau = 4.7$ to $0^+$ level. $\% \beta^- = 100$ $Q = 0.802$ 12 ( <a href="#">1989Ra17</a> , <a href="#">2005St24</a> , <a href="#">1987Eb02</a> ) $\mu = +4.435$ 15 ( <a href="#">2005St24</a> , <a href="#">1989Ra17</a> ); Configuration= $((\pi g_{9/2})^{-1}(\nu s_{1/2}))$ $T_{1/2}$ : weighted average of 54.31 min 7 ( <a href="#">1945Ru02</a> ), 54.05 min 16 ( <a href="#">1947Gr16</a> ), 53.93 min 13 ( <a href="#">1949Si02</a> ), 54.14 min 7 ( <a href="#">1953Do09</a> ), 53.99 min 6 ( <a href="#">1953Lo09</a> ), 55.13 min 27 ( <a href="#">1957Ca71</a> ), 54.12 min 5 ( <a href="#">1963Be23</a> ), 56.6 min 11 ( <a href="#">1965Br34</a> ), 55.3 min 4 ( <a href="#">1972Pa13</a> ), 54.34 min 9 ( <a href="#">1972Em01</a> ), 55.77 10 ( <a href="#">1986Ne01</a> ), agrees with the new value 54.20 7 ( <a href="#">2006Vo12</a> ).
127.267 6	$5^+$	54.29 min 17	ABCD	$J^\pi$ : atomic beam ( <a href="#">1976Fu06</a> ), M1 $\gamma$ from $4^+$ . $J^\pi$ : L(d,p)=0+2, M1 $\gamma$ from 508 level. Configuration= $((\pi g_{9/2})^{-1}(\nu g_{7/2})^{-1})$ $J^\pi$ : M1 $\gamma$ to $1^+$ , primary $\gamma$ in ( $n,\gamma$ ) E=res. %IT=100 $Q = 0.310$ 9 ( <a href="#">1989Ra17</a> , <a href="#">2005St24</a> , <a href="#">1987Eb02</a> ) $\mu = +3.215$ 11 ( <a href="#">2005St24</a> , <a href="#">1987Eb02</a> ); Configuration= $((\pi g_{9/2})^{-1}(\nu h_{11/2}))$ $J^\pi$ : E3 $\gamma$ to $5^+$ . $T_{1/2}$ : weighted average: 2.46 s 8 ( <a href="#">1960Al27</a> ), 2.17 s 7 ( <a href="#">1961He08</a> ), 2.3 s 3 ( <a href="#">1962Wh02</a> ), 2.16 s 2 ( <a href="#">1963Al32</a> ). Other: 2.5 s ( <a href="#">1950Ca72</a> ).
223.330 6	$4^+$	<139 <sup>†</sup> ps	ABC	Configuration= $((\pi g_{9/2})^{-1}(\nu d_{3/2}))$ $J^\pi$ : primary $\gamma$ in ( $n,\gamma$ ) E=res, M1 $\gamma$ to $4^+$ .
272.966 2	$2^+$	<69 <sup>†</sup> ps	ABC	Configuration= $((\pi g_{9/2})^{-1}(\nu h_{11/2}))$ $J^\pi$ : M1 $\gamma$ to $8^-$ , M1 $\gamma$ from $6^-$ .
289.660 6	$8^-$	2.18 s 4	A CD	Configuration= $((\pi g_{9/2})^{-1}(\nu h_{11/2}))$ $J^\pi$ : M1 $\gamma$ to $8^-$ .
313.476 5	$4^+, 5^+$	631 <sup>†</sup> ps 70	ABC	Configuration= $((\pi g_{9/2})^{-1}(\nu h_{11/2}))$ $J^\pi$ : E1 $\gamma$ to $5^+$ , M1 $\gamma$ to $7^-$ .
350.576 6	$7^-$		A C	
366.418 6	$7^-, 8^-, 9^-$		A C	
373.373 9	$6^-$		ABC	

Continued on next page (footnotes at end of table)

**Adopted Levels, Gammas (continued)** **$^{116}\text{In}$  Levels (continued)**

E(level)	$J^\pi \ddagger$	T <sub>1/2</sub>	XREF	Comments
425.930 5	4 <sup>+</sup>	<208 <sup>†</sup> ps	A B C	$J^\pi$ : L(d,p)=0+2, M1 $\gamma$ from 3 <sup>+</sup> .
448.032 4	1 <sup>-</sup> ,2 <sup>-</sup> ,3 <sup>-</sup>		C	$J^\pi$ : E1 $\gamma$ to 2 <sup>+</sup> .
458.942 9	5 <sup>-</sup>		A B C	Configuration=(( $\pi g_{9/2}$ ) <sup>-1</sup> ( $\nu h_{11/2}$ ))
				$J^\pi$ : M1 $\gamma$ to 6 <sup>-</sup> , $J^\pi$ =4 <sup>-</sup> ,5 <sup>-</sup> from primary $\gamma$ in (n, $\gamma$ ) E=res.
460.000 6	4 <sup>+</sup> ,5 <sup>+</sup>	<139 <sup>†</sup> ps	A C	$J^\pi$ : L(d,p)=0+5 for the 458.9+460 levels.
508.241 4	3 <sup>+</sup>	<104 <sup>†</sup> ps	A C	Configuration=(( $\pi g_{9/2}$ ) <sup>-1</sup> ( $\nu d_{3/2}$ ))
				$J^\pi$ : M1 $\gamma$ to 2 <sup>+</sup> , M1 $\gamma$ to 4 <sup>+</sup> .
554.979 10	4 <sup>-</sup>	<139 <sup>†</sup> ps	A B C	Configuration=(( $\pi g_{9/2}$ ) <sup>-1</sup> ( $\nu h_{11/2}$ ))
				$J^\pi$ : primary $\gamma$ in (n, $\gamma$ ) E=res, M1 $\gamma$ from 3 <sup>-</sup> .
556.849 25	2 <sup>-</sup>		C	$J^\pi$ : E1 $\gamma$ to 1 <sup>+</sup> , M1 $\gamma$ from 3 <sup>-</sup> .
648.916 9	6 <sup>+</sup> ,(4 <sup>+</sup> ,5 <sup>+</sup> )		A B C	Configuration=(( $\pi g_{9/2}$ ) <sup>-1</sup> ( $\nu d_{3/2}$ ))
				$J^\pi$ : primary $\gamma$ in (n, $\gamma$ ) E=res.
658.073 8	3 <sup>+</sup>	<139 <sup>†</sup> ps	A B C	Configuration=(( $\pi g_{9/2}$ ) <sup>-1</sup> ( $\nu g_{7/2}$ ) <sup>-1</sup> )
				$J^\pi$ : primary $\gamma$ in (n, $\gamma$ ) E=res.
665.616 10	7 <sup>+</sup> ,8 <sup>+</sup>		A C	$J^\pi$ : E1 $\gamma$ to 7 <sup>-</sup> , E1 $\gamma$ to 8 <sup>-</sup> .
722.7 13	3 <sup>+</sup> ,(2 <sup>+</sup> )		B	Configuration=(( $\pi g_{9/2}$ ) <sup>-1</sup> ( $\nu g_{7/2}$ ) <sup>-1</sup> )
728.865 11	3 <sup>-</sup>	<104 <sup>†</sup> ps	A B C	Configuration=(( $\pi g_{9/2}$ ) <sup>-1</sup> ( $\nu h_{11/2}$ ))
				$J^\pi$ : primary $\gamma$ in (n, $\gamma$ ) E=res M1 $\gamma$ to 4 <sup>-</sup> .
735.688 10	4 <sup>+</sup> ,5 <sup>+</sup>		A B C	$J^\pi$ : L(d,p)=0.
744.823 8	3 <sup>+</sup>		B C	$J^\pi$ : primary $\gamma$ in (n, $\gamma$ ) E=res.
760.997 10	6,7 <sup>+</sup>		A C	Configuration=(( $\pi g_{9/2}$ ) <sup>-1</sup> ( $\nu d_{5/2}$ ) <sup>-1</sup> )
				$J^\pi$ : M1,E1 $\gamma$ to 7 <sup>+</sup> ,8 <sup>+</sup> . $\gamma$ to 5 <sup>+</sup> .
771.14 10	+		C	$J^\pi$ : M1,E2 $\gamma$ to 1 <sup>+</sup> .
787.18 4	1 <sup>-</sup> ,2 <sup>-</sup> ,3 <sup>-</sup>		C	$J^\pi$ : M1 $\gamma$ to 2 <sup>-</sup> .
789.372 9	+		A C	Configuration=(( $\pi g_{9/2}$ ) <sup>-1</sup> ( $\nu d_{5/2}$ ) <sup>-1</sup> )
				$J^\pi$ : M1,E2 $\gamma$ to $\pi$ =+.
790.921 18	3 <sup>+</sup>		BC	$J^\pi$ : primary $\gamma$ in (n, $\gamma$ ) E=res.
813.346 8	4 <sup>+</sup>		A B C	Configuration=(( $\pi g_{9/2}$ ) <sup>-1</sup> ( $\nu g_{7/2}$ ) <sup>-1</sup> )
				$J^\pi$ : M1 $\gamma$ to 3 <sup>+</sup> , L(d,p)=4+0.
829.131 8	4 <sup>+</sup>	<139 <sup>†</sup> ps	A B C	$J^\pi$ : M1 $\gamma$ to 3 <sup>+</sup> , L(d,p)=0.
850.491 23	3 <sup>-</sup>		BC	$J^\pi$ : primary $\gamma$ in (n, $\gamma$ ) E=res.
875.287 33	3 <sup>-</sup>		BC	$J^\pi$ : E1 to 2 <sup>+</sup> , $J^\pi$ =3 <sup>-</sup> ,(3 <sup>+</sup> ) from primary $\gamma$ in (n, $\gamma$ ) E=res.
892.667 12	4 <sup>-</sup>		BC	$J^\pi$ : primary $\gamma$ in (n, $\gamma$ ) E=res M1 $\gamma$ to 3 <sup>-</sup> .
910.77 10	(2) <sup>+</sup>		A C	$J^\pi$ : L(d,p)=2, not fed by primary $\gamma$ , $\gamma$ to 3 <sup>+</sup> .
914.5 5			A C	Configuration=(( $\pi g_{9/2}$ ) <sup>-1</sup> ( $\nu h_{11/2}$ ))
920.81 10	+		C	$J^\pi$ : M1,E2 $\gamma$ to 2 <sup>+</sup> .
949.305 10	4 <sup>(+)</sup> ,5 <sup>(+)</sup>		A C	$J^\pi$ : M1,(E1) $\gamma$ to 4 <sup>+</sup> ,5 <sup>+</sup> . $\gamma$ 's to 4 <sup>-</sup> and 5 <sup>-</sup> .
951.476 15	4 <sup>-</sup>		BC	$J^\pi$ : primary $\gamma$ in (n, $\gamma$ ) E=res.
970.302 8	3 <sup>+</sup> ,4 <sup>+</sup> ,5 <sup>+</sup>		A C	$J^\pi$ : M1 $\gamma$ to 4 <sup>+</sup> .
972.95 20			BC	
1007.663 13	6 <sup>-</sup>		A B C	$J^\pi$ : primary $\gamma$ in (n, $\gamma$ ) E=res.
1015.495 21	4 <sup>-</sup> ,5 <sup>-</sup>		BC	$J^\pi$ : primary $\gamma$ in (n, $\gamma$ ) E=res.
1019.038 12	3 <sup>-</sup> ,4 <sup>-</sup> ,5 <sup>-</sup>	<104 <sup>†</sup> ps	A C	$J^\pi$ : M1 $\gamma$ to 4 <sup>-</sup> .
1031.226 25	4 <sup>+</sup>		BC	$J^\pi$ : M1 $\gamma$ to 3 <sup>+</sup> . $J^\pi$ =4 <sup>+</sup> ,5 <sup>+</sup> from primary $\gamma$ in (n, $\gamma$ ) E=res.
1052.680 19	5 <sup>-</sup>		BC	$J^\pi$ : M1 $\gamma$ to 6 <sup>-</sup> . $J^\pi$ =4 <sup>-</sup> ,5 <sup>-</sup> from primary $\gamma$ in (n, $\gamma$ ) E=res.
1057.340 19	(3 <sup>+</sup> ,4 <sup>+</sup> ,5 <sup>+</sup> ,6 <sup>+</sup> )		A B C	$J^\pi$ : M1 $\gamma$ to 4 <sup>+,5<sup>+</sup>.</sup>
1070.89 10	3 <sup>+</sup> ,(4,5) <sup>+</sup>		C	$J^\pi$ : primary $\gamma$ in (n, $\gamma$ ) E=res. M1,E2 $\gamma$ to 4 <sup>+</sup> .
1072.37 17	4 <sup>-</sup> ,5 <sup>-</sup>		A B C	$J^\pi$ : primary $\gamma$ in (n, $\gamma$ ) E=res. $\gamma$ decay.
1081.58 18	6 <sup>-</sup>		BC	$J^\pi$ : primary $\gamma$ in (n, $\gamma$ ) E=res. $\gamma$ decay.
1081.871 24	3 <sup>+,4<sup>+</sup>,5<sup>+</sup></sup>		BC	$J^\pi$ : primary $\gamma$ in (n, $\gamma$ ) E=res. $\gamma$ decay.
1088.1 11	6 <sup>+</sup>		B	
1094.42			C	
1097.7 3	3 <sup>-</sup>		B	

Continued on next page (footnotes at end of table)

**Adopted Levels, Gammas (continued)** **$^{116}\text{In}$  Levels (continued)**

E(level)	J $\pi$ <sup>‡</sup>	XREF	Comments
1119.4 13	3 <sup>+</sup>	B	
1121.5		BC	
1152.40 8	6 <sup>-</sup> ,(6 <sup>+</sup> )	BC	
1167.040 10	+ <sup>+</sup>	C	J $\pi$ : M1,E2 $\gamma$ to +.
1187.27	A C		
1204.36 10	6 <sup>+</sup> ,(7 <sup>+</sup> )	ABC	
1213.456 28	4 <sup>+</sup> ,5 <sup>+</sup>	BC	
1252.65	3 <sup>+</sup>	BC	
1258.5 4	3 <sup>-</sup>	B	
1285.692		C	
1285.83 8	4 <sup>-</sup> ,5 <sup>-</sup>	B	
1292.5 8	3 <sup>-</sup>	B	
1318.2 6	6 <sup>-</sup>	B	
1341.5 10		BC	
1374.43 12	4 <sup>-</sup> ,5 <sup>-</sup>	BC	
1399.77 8	5 <sup>+</sup>	C	J $\pi$ : M1 $\gamma$ to 4 <sup>+</sup> .
1426.4		C	
1437.7		C	
1451.07		C	
1465.9		C	
13240 50		E	
13740 50		E	
14500 50		E	
15140 50		E	
15660 50		E	

<sup>†</sup> From (n, $\gamma$ ) by [1975Ra07](#).<sup>‡</sup> Values for levels populated in (n, $\gamma$ ) E=res alone are from the relative strengths of primary  $\gamma$ 's from 4<sup>+</sup> and 5<sup>+</sup> resonances.

## Adopted Levels, Gammas (continued)

 $\gamma(^{116}\text{In})$ 

E <sub>i</sub> (level)	J <sub>i</sub> <sup>π</sup>	E <sub>γ</sub> <sup>†</sup>	I <sub>γ</sub> <sup>†</sup>	E <sub>f</sub>	J <sub>f</sub> <sup>π</sup>	Mult. <sup>†</sup>	α <sup>‡</sup>	Comments
223.330	4 <sup>+</sup>	96.1 2	100	127.267	5 <sup>+</sup>	M1	0.577	B(M1)(W.u.)>0.18
272.966	2 <sup>+</sup>	273.0 3	100	0.0	1 <sup>+</sup>	M1		B(M1)(W.u.)>0.016
289.660	8 <sup>-</sup>	162.393 7	100	127.267	5 <sup>+</sup>	E3	1.73	B(E3)(W.u.)=0.234 5
313.476	4 <sup>+,5<sup>+</sup></sup>	90.1 2	0.28 11	223.330	4 <sup>+</sup>	(M1)	0.693	B(M1)(W.u.)=0.00013 6 Mult.: from <sup>116</sup> In IT decay. Mult.: α(K)exp allows mult=M1, or E1, the decay scheme requires Δπ=no. B(M1)(W.u.)=0.0054 9
350.576	7 <sup>-</sup>	186.2 1 60.916 1	100 8	127.267	5 <sup>+</sup>	M1		
366.418	7 <sup>-</sup> ,8 <sup>-</sup> ,9 <sup>-</sup>	76.758 2	100	289.660	8 <sup>-</sup>	M1		
373.373	6 <sup>-</sup>	22.800 8	100 33	289.660	8 <sup>-</sup>	M1		
		246.100 20	3.1 7	350.576	7 <sup>-</sup>	M1		
425.930	4 <sup>+</sup>	112.5 2	11.9 12	313.476	4 <sup>+,5<sup>+</sup></sup>	M1		B(M1)(W.u.)>0.0068
		202.605 6	17.5 19	223.330	4 <sup>+</sup>	M1		B(M1)(W.u.)>0.0017
		298.7 3	100 5	127.267	5 <sup>+</sup>	M1		B(M1)(W.u.)>0.0031
448.032	1 <sup>-</sup> ,2 <sup>-</sup> ,3 <sup>-</sup>	175.1 2	100	272.966	2 <sup>+</sup>	E1		
458.942	5 <sup>-</sup>	85.569 2	100	373.373	6 <sup>-</sup>	M1		
460.000	4 <sup>+,5<sup>+</sup></sup>	146.5 2	100	313.476	4 <sup>+,5<sup>+</sup></sup>			
508.241	3 <sup>+</sup>	82.313 3	3.7 7	425.930	4 <sup>+</sup>	M1	0.896	B(M1)(W.u.)>0.0080
		235.3 2	71 6	272.966	2 <sup>+</sup>	M1		B(M1)(W.u.)>0.0066
		284.900 10	100 6	223.330	4 <sup>+</sup>	M1		B(M1)(W.u.)>0.0052
554.979	4 <sup>-</sup>	96.0 2	100	458.942	5 <sup>-</sup>	M1	0.578	B(M1)(W.u.)>0.18
556.849	2 <sup>-</sup>	556.75 3	100	0.0	1 <sup>+</sup>	E1		
648.916	6 <sup>+,</sup> (4 <sup>+,5<sup>+</sup></sup> )	335.460 10	100 7	313.476	4 <sup>+,5<sup>+</sup></sup>	M1,E2		
		521.59 5	19 3	127.267	5 <sup>+</sup>	M1,E2		
658.073	3 <sup>+</sup>	385.100 10	100	272.966	2 <sup>+</sup>	M1,E2		
665.616	7 <sup>+,8<sup>+</sup></sup>	299.5 5	8 5	366.418	7 <sup>-,8<sup>-,9<sup>-</sup></sup></sup>			
		315.0 3	25.3 24	350.576	7 <sup>-</sup>	E1		
		375.95 8	100 10	289.660	8 <sup>-</sup>	E1		
728.865	3 <sup>-</sup>	173.89 2	100	554.979	4 <sup>-</sup>	M1		B(M1)(W.u.)>0.040
735.688	4 <sup>+,5<sup>+</sup></sup>	422.200 20	47 3	313.476	4 <sup>+,5<sup>+</sup></sup>	M1,E2		
		608.36 5	100 13	127.267	5 <sup>+</sup>	M1,E2		
744.823	3 <sup>+</sup>	471.820 <sup>#</sup> 20	<100 <sup>#</sup>	272.966	2 <sup>+</sup>			
		521.47 2	83 50	223.330	4 <sup>+</sup>			
		617.9 3	100 27	127.267	5 <sup>+</sup>			
760.997	6,7 <sup>+</sup>	95.4 2	24 8	665.616	7 <sup>+,8<sup>+</sup></sup>	M1,E1		
		112.08 6	5.6 20	648.916	6 <sup>+,</sup> (4 <sup>+,5<sup>+</sup></sup> )			
		387.67 7	2.0 12	373.373	6 <sup>-</sup>			
		410.390 20	18 5	350.576	7 <sup>-</sup>			
		447.36 15	5.6 16	313.476	4 <sup>+,5<sup>+</sup></sup>			
		471.820 <sup>#</sup> 20	<100 <sup>#</sup>	289.660	8 <sup>-</sup>	M1,E1		

## Adopted Levels, Gammas (continued)

 $\gamma(^{116}\text{In})$  (continued)

E <sub>i</sub> (level)	J <sup>π</sup> <sub>i</sub>	E <sub>γ</sub> <sup>†</sup>	I <sub>γ</sub> <sup>†</sup>	E <sub>f</sub>	J <sup>π</sup> <sub>f</sub>	Mult. <sup>†</sup>	Comments
760.997	6,7 <sup>+</sup>	632.4 5	32 6	127.267	5 <sup>+</sup>		
771.14	+	498.2 2	20 14	272.966	2 <sup>+</sup>		
		771.00 16	100 14	0.0	1 <sup>+</sup>		
787.18	1 <sup>-</sup> ,2 <sup>-</sup> ,3 <sup>-</sup>	230.33 3	21 10	556.849	2 <sup>-</sup>	M1	
		339.26 10	100 17	448.032	1 <sup>-</sup> ,2 <sup>-</sup> ,3 <sup>-</sup>		
789.372	+	140.5 2	100 16	648.916	6 <sup>+</sup> ,(4 <sup>+,5<sup>+</sup></sup> )	M1	
		475.88 3	73 13	313.476	4 <sup>+,5<sup>+</sup></sup>	M1,E2	
		662.16 25	10.6 24	127.267	5 <sup>+</sup>		
790.921	3 <sup>+</sup>	132.94 15	5.3 18	658.073	3 <sup>+</sup>		
		365.16 7	19 3	425.930	4 <sup>+</sup>	M1,E2	
		517.950 20	100 12	272.966	2 <sup>+</sup>	M1,E2	
		567.75 10	33 4	223.330	4 <sup>+</sup>	M1,E2,E1	
813.346	4 <sup>+</sup>	155.3 3	100 14	658.073	3 <sup>+</sup>	M1	
		305.130 10	42 4	508.241	3 <sup>+</sup>	M1	
		500.2 3	11 6	313.476	4 <sup>+,5<sup>+</sup></sup>		
		540.48 8	27 4	272.966	2 <sup>+</sup>	E2	
829.131	4 <sup>+</sup>	84.308 2	22 3	744.823	3 <sup>+</sup>	M1	B(M1)(W.u.)>0.023
		171.070 10	100 9	658.073	3 <sup>+</sup>	M1	B(M1)(W.u.)>0.012
		320.910 20	52 6	508.241	3 <sup>+</sup>	M1,E2	
		515.7 3	23 6	313.476	4 <sup>+,5<sup>+</sup></sup>		
		556.15 10	57 29	272.966	2 <sup>+</sup>		
850.491	3 <sup>-</sup>	293.640 10	34 6	556.849	2 <sup>-</sup>	M1	
		295.52 3	100 6	554.979	4 <sup>-</sup>	M1	
		577.51 5	60 7	272.966	2 <sup>+</sup>	E1	
875.287	3 <sup>-</sup>	318.56 9	19 4	556.849	2 <sup>-</sup>	(M1)	
		602.30 3	100 12	272.966	2 <sup>+</sup>	E1	
892.667	4 <sup>-</sup>	42.15 5	3.7 8	850.491	3 <sup>-</sup>	M1	
		163.809 11	6.2 14	728.865	3 <sup>-</sup>		
		335.80 4	6 4	556.849	2 <sup>-</sup>		
		337.720 20	44 5	554.979	4 <sup>-</sup>	M1,E2	
		384.41 5	51 11	508.241	3 <sup>+</sup>		
		433.710 10	100 5	458.942	5 <sup>-</sup>	M1,E2	
910.77	(2) <sup>+</sup>	252.75 12	100 33	658.073	3 <sup>+</sup>		
		402.3 3	100 50	508.241	3 <sup>+</sup>		
920.81	+	149.7 2	75 6	771.14	+	M1	
		647.98 17	100 13	272.966	2 <sup>+</sup>	M1,E2	
949.305	4 <sup>(+)</sup> ,5 <sup>(+)</sup>	159.9 2	61 10	789.372	+		
		213.638 20	73 10	735.688	4 <sup>+,5<sup>+</sup></sup>	M1,(E1)	
		300.25 15	65 16	648.916	6 <sup>+</sup> ,(4 <sup>+,5<sup>+</sup></sup> )		
		394.7 3	31 4	554.979	4 <sup>-</sup>		
		490.03 20	100 10	458.942	5 <sup>-</sup>		
951.476	4 <sup>-</sup>	222.62 3	3.4 17	728.865	3 <sup>-</sup>		

## Adopted Levels, Gammas (continued)

 $\gamma^{(116\text{In})}$  (continued)

E <sub>i</sub> (level)	J <sup>π</sup> <sub>i</sub>	E <sub>γ</sub> <sup>†</sup>	I <sub>γ</sub> <sup>†</sup>	E <sub>f</sub>	J <sup>π</sup> <sub>f</sub>	Mult. <sup>†</sup>	Comments
951.476	4 <sup>-</sup>	293.19 15	14 5	658.073	3 <sup>+</sup>		
		396.43 3	13.0 17	554.979	4 <sup>-</sup>	M1,E2	
		443.26 4	15 3	508.241	3 <sup>+</sup>		
		492.530 10	100 7	458.942	5 <sup>-</sup>	M1,E2	
970.302	3 <sup>+,4<sup>+,5<sup>+</sup></sup></sup>	141.2 2	100 15	829.131	4 <sup>+</sup>	M1	
		157.0 2	9.5 15	813.346	4 <sup>+</sup>		
		180.95 2	7.3 15	789.372	+		
		225.47 3	4.4 22	744.823	3 <sup>+</sup>		
		234.600 10	31 9	735.688	4 <sup>+,5<sup>+</sup></sup>		
		747.3 8	19 6	223.330	4 <sup>+</sup>	M1,E2	
		115.0 2	26 3	892.667	4 <sup>-</sup>	E2	
1007.663	6 <sup>-</sup>	548.69 3	100 9	458.942	5 <sup>-</sup>	M1	
		634.07 11	66 14	373.373	6 <sup>-</sup>	(M1,E2)	
		657.15 12	62 5	350.576	7 <sup>-</sup>	M1,E2	
		202.154 <sup>#</sup> 16	≤25 <sup>#</sup>	813.346	4 <sup>+</sup>		
1019.038	3 <sup>-,4<sup>-,5<sup>+</sup></sup></sup>	791.5 6	100 11	223.330	4 <sup>+</sup>	E1	
		126.4 2	100 5	892.667	4 <sup>-</sup>	M1	B(M1)(W.u.)>0.089
		143.55 10	0.8 4	875.287	3 <sup>-</sup>		
1031.226	4 <sup>+</sup>	559.93 12	17 5	458.942	5 <sup>-</sup>	M1,E2	B(E2)(W.u.)>0.21; B(M1)(W.u.)>8.7×10 <sup>-5</sup>
		217.87 3	19 11	813.346	4 <sup>+</sup>		
		240.31 4	63 11	790.921	3 <sup>+</sup>	M1,(E2)	
		373.34 20	81 15	658.073	3 <sup>+</sup>	M1,E2	
1052.680	5 <sup>-</sup>	808.6 10	100 35	223.330	4 <sup>+</sup>		
		45.00 5	41 11	1007.663	6 <sup>-</sup>	M1	
		101.16 3	41 19	951.476	4 <sup>-</sup>	M1	
		202.154 <sup>#</sup> 16	≤63 <sup>#</sup>	850.491	3 <sup>-</sup>		
1057.340	(3 <sup>+,4<sup>+,5<sup>+,6<sup>+</sup></sup></sup>)</sup>	497.70 6	100 18	554.979	4 <sup>-</sup>	M1,E2	
		267.97 3	60 15	789.372	+		
1070.89	3 <sup>+,4<sup>,5<sup>+</sup></sup></sup>	321.650 20	100 30	735.688	4 <sup>+,5<sup>+</sup></sup>	M1,E2	
		515.94 13	14 10	554.979	4 <sup>-</sup>		
		847.53 16	100 14	223.330	4 <sup>+</sup>		
1081.58	6 <sup>-</sup>	622.64 13	22 3	458.942	5 <sup>-</sup>	M1,E2	
1081.871	3 <sup>+,4<sup>+,5<sup>+</sup></sup></sup>	290.950 20	100	790.921	3 <sup>+</sup>	E2,(M1)	
1152.40	6 <sup>-</sup> ,(6 <sup>+</sup> )	693.44 12	100	458.942	5 <sup>-</sup>	M1,E2	
1167.040	+	196.738 5	100 13	970.302	3 <sup>+,4<sup>+,5<sup>+</sup></sup></sup>	M1,E2	
		518.10 20	37 25	648.916	6 <sup>+,4<sup>+,5<sup>+</sup></sup></sup>		
1204.36	6 <sup>+,7<sup>+</sup></sup>	555.45 12	100	648.916	6 <sup>+,4<sup>+,5<sup>+</sup></sup></sup>		
1213.456	4 <sup>+,5<sup>+</sup></sup>	243.15 3	39 11	970.302	3 <sup>+,4<sup>+,5<sup>+</sup></sup></sup>	M1,(E2)	
		468.62 10	100 22	744.823	3 <sup>+</sup>	M1,E2	
1285.83	4 <sup>-,5<sup>-</sup></sup>	393.12 12	100	892.667	4 <sup>-</sup>		
1374.43	4 <sup>-,5<sup>-</sup></sup>	819.50 20	100	554.979	4 <sup>-</sup>		

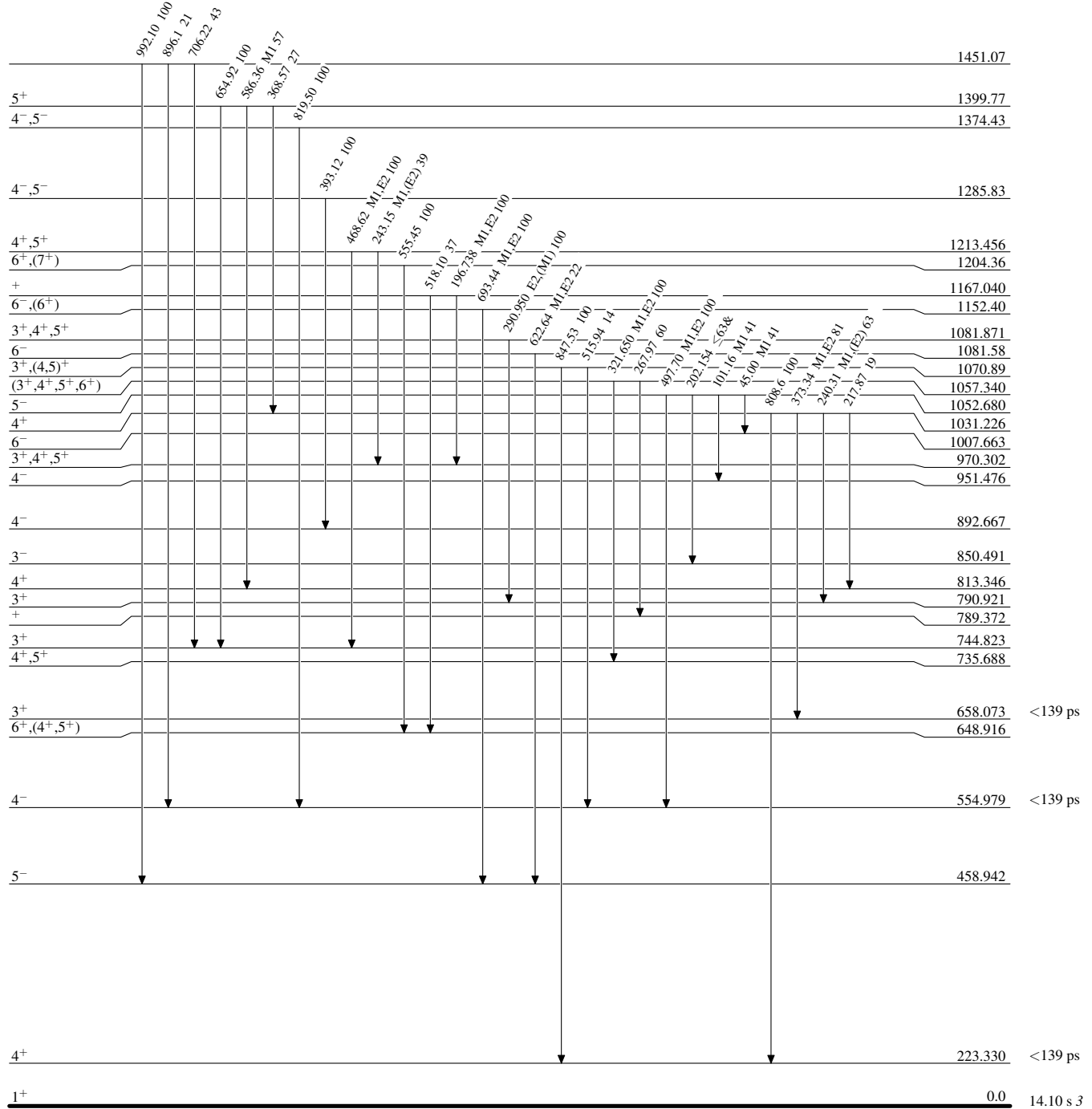
**Adopted Levels, Gammas (continued)** $\gamma(^{116}\text{In})$  (continued)

$E_i$ (level)	$J_i^\pi$	$E_\gamma^\dagger$	$I_\gamma^\dagger$	$E_f$	$J_f^\pi$	Mult. <sup>†</sup>
1399.77	5 <sup>+</sup>	368.57 8	27 13	1031.226	4 <sup>+</sup>	M1
		586.36 23	57 10	813.346	4 <sup>+</sup>	
		654.92 20	100 13	744.823	3 <sup>+</sup>	
1451.07		706.22 25	43 7	744.823	3 <sup>+</sup>	#
		896.1 5	21 9	554.979	4 <sup>-</sup>	
		992.10 17	100 10	458.942	5 <sup>-</sup>	

<sup>†</sup> From <sup>115</sup>In(n, $\gamma$ ).<sup>‡</sup> Total theoretical internal conversion coefficients, calculated using the BrIcc code (2008Ki07) with Frozen orbital approximation based on  $\gamma$ -ray energies, assigned multipolarities, and mixing ratios, unless otherwise specified.<sup>#</sup> Multiply placed with undivided intensity.

**Adopted Levels, Gammas****Level Scheme**

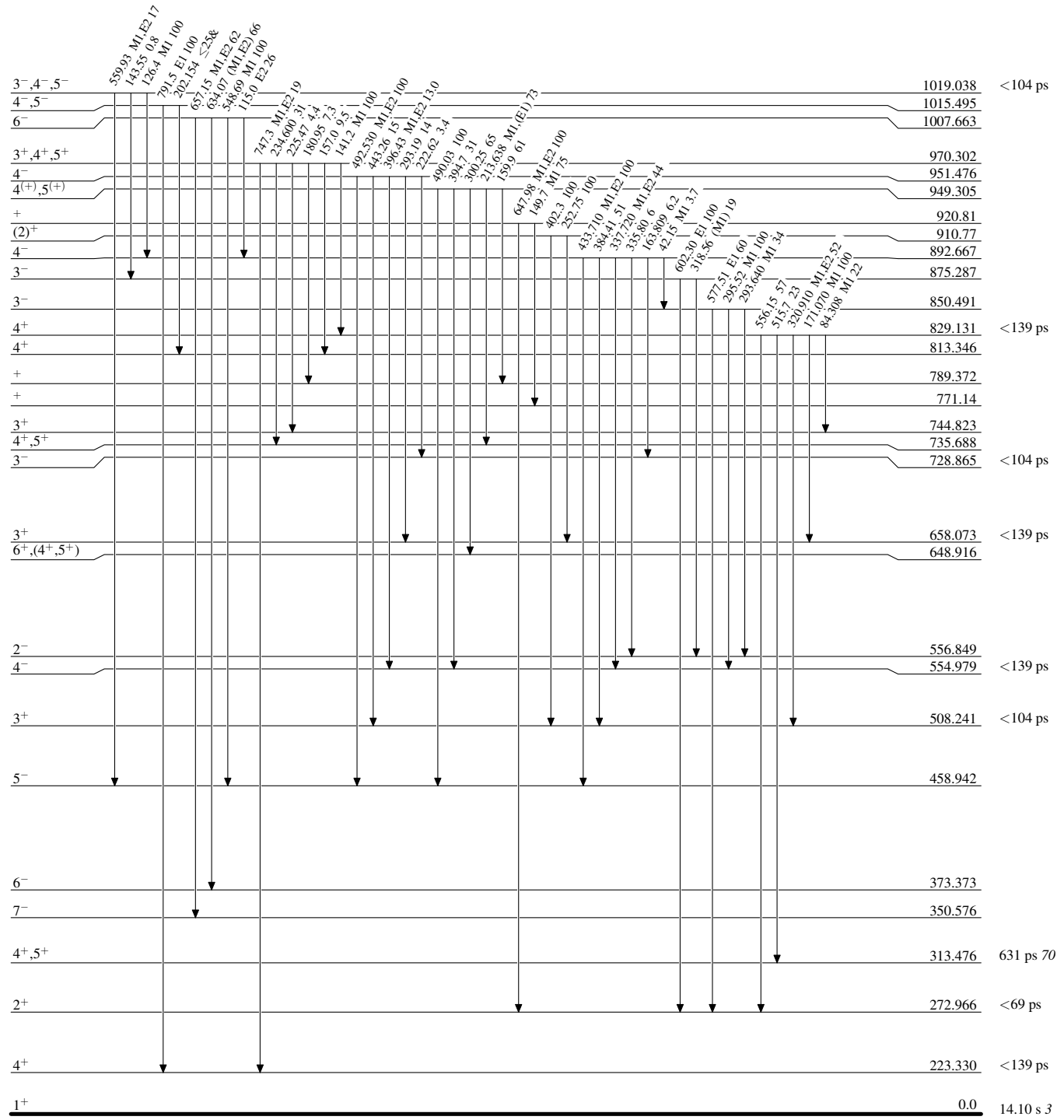
Intensities: Relative photon branching from each level  
 & Multiply placed: undivided intensity given



Adopted Levels, Gammas

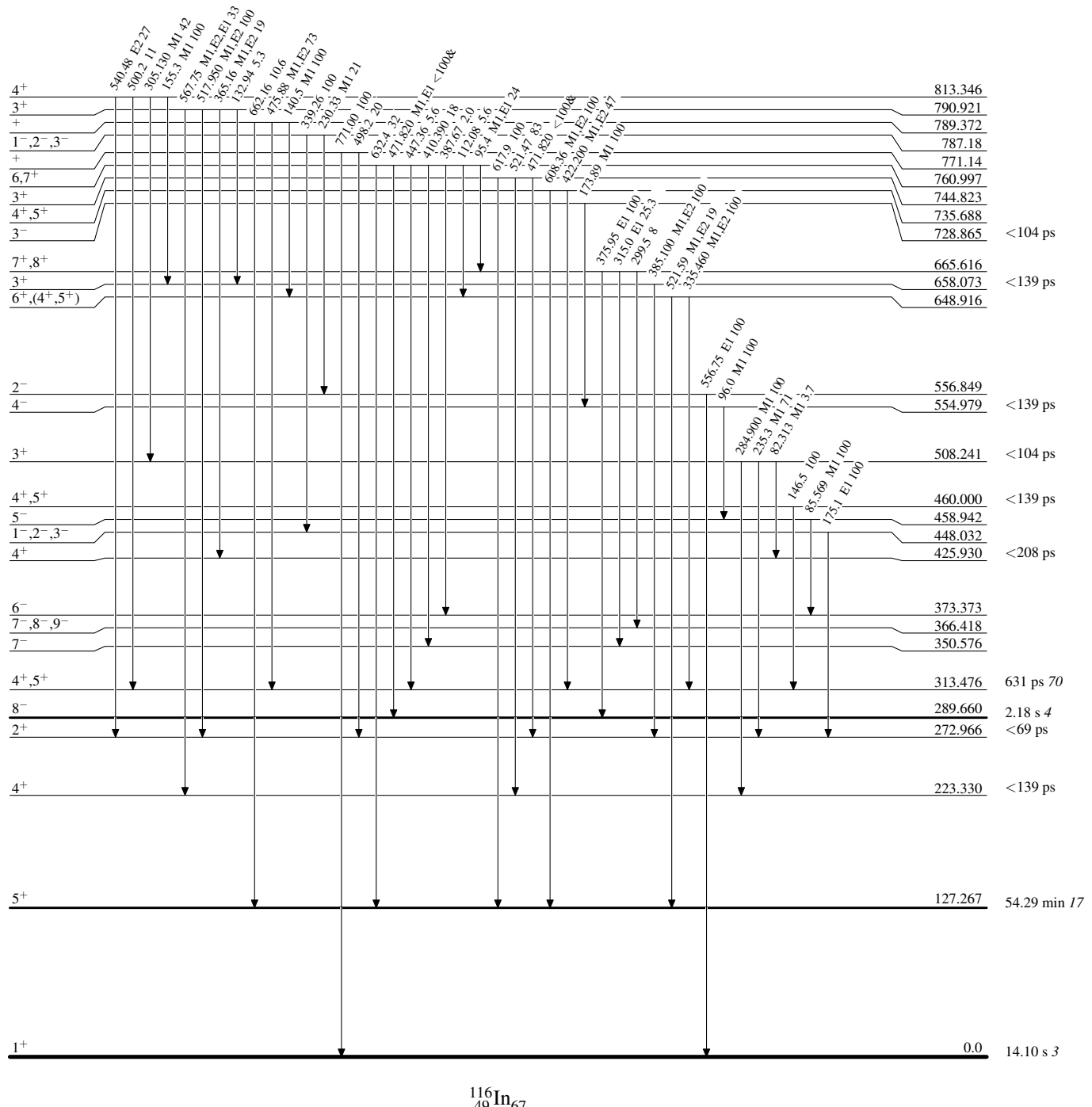
## Level Scheme (continued)

Intensities: Relative photon branching from each level  
 & Multiply placed: undivided intensity given



Adopted Levels, GammasLevel Scheme (continued)

Intensities: Relative photon branching from each level  
 & Multiply placed: undivided intensity given



## Adopted Levels, Gammas

## Level Scheme (continued)

Intensities: Relative photon branching from each level  
& Multiply placed: undivided intensity given

